

Ю. Л. Тарасов

НЕКОТОРЫЕ ПРИБЛИЖЕННЫЕ РЕШЕНИЯ УРАВНЕНИЙ ИЗГИБА СФЕРИЧЕСКОЙ ОБОЛОЧКИ ПРИ ОСЕСИММЕТРИЧНОМ НАГРУЖЕНИИ

Принятые обозначения

- R, δ — радиус и толщина оболочки;
 u, w — перемещения точки срединной поверхности оболочки;
 $\epsilon_1, \epsilon, \epsilon_2$ — относительные удлинения срединной поверхности оболочки;
 ϕ — угол поворота нормали к меридиану оболочки;
 Δ — приращение радиуса параллельного круга оболочки;
 μ, E — коэффициент Пуассона и модуль упругости материала оболочки;
 M_1, M_2, Q, N_1, N_2 — изгибающие моменты, перерезывающая сила и нормальные усилия;
 φ — угловая координата, определяющая положение точки на меридиане оболочки.

Основное уравнение осесимметричного изгиба сферической оболочки [1, 2]

$$\frac{d^2 Q}{d\varphi^2} + \frac{dQ}{d\varphi} \operatorname{ctg} \varphi - Q \operatorname{ctg}^2 \varphi + 2ix^2 Q = 0, \quad (1)$$

можно привести к виду [6]

$$(1-x^2) \frac{d^2 Q}{dx^2} - \frac{(1-3x^2)}{x} \frac{dQ}{dx} + Q \left[8ix^2 - \frac{(1-2x^2)^2}{x^2(1-x^2)} \right] = 0, \quad (2)$$

где $x = \sin \frac{\varphi}{2}$.

Решение уравнения (1) записывается в форме

$$Q = A_1 a_1(\varphi) + B_1 b_1(\varphi) + A_2 a_2(\varphi) + B_2 b_2(\varphi). \quad (3)$$

Здесь

$$a_1 = \sqrt{\frac{\varphi}{\sin \varphi}} \operatorname{ker}' z,$$

$$b_1 = \sqrt{\frac{\varphi}{\sin \varphi}} \operatorname{kei}' z,$$

$$a_2 = \sqrt{\frac{\varphi}{\sin \varphi}} \operatorname{ber}' z, \quad (4)$$

$$b_2 = \sqrt{\frac{\varphi}{\sin \varphi}} \operatorname{bei}' z,$$

$$z = \sqrt{2} x \varphi.$$

Формулы для определения усилий и деформаций имеют вид:

$$N_1 = A_1 c_1(\varphi) + B_1 d_1(\varphi) + A_2 c_2(\varphi) + B_2 d_2(\varphi) + p \frac{R}{2} + \frac{N \sin \varphi_1}{\sin^2 \varphi}, \quad (5)$$

$$N_2 = A_1 e_1(\varphi) + B_1 f_1(\varphi) + A_2 e_2(\varphi) + B_2 f_2(\varphi) + p \frac{R}{2} - \frac{N \sin \varphi_1}{\sin^2 \varphi}, \quad (6)$$

$$M_1 = \delta [A_1 g_1(\varphi) + B_1 h_1(\varphi) + A_2 g_2(\varphi) + B_2 h_2(\varphi)], \quad (7)$$

$$M_2 = \delta [A_1 p_1(\varphi) + B_1 q_1(\varphi) + A_2 p_2(\varphi) + B_2 q_2(\varphi)], \quad (8)$$

$$\begin{aligned} \varepsilon_1 = \frac{1}{E \delta} [& A_1 r_1(\varphi) + B_1 s_1(\varphi) + A_2 r_2(\varphi) + B_2 s_2(\varphi) + \\ & + (1 - \mu) \frac{pR}{2} + (1 + \mu) \frac{N \sin \varphi_1}{\sin^2 \varphi}], \end{aligned} \quad (9)$$

$$\begin{aligned} \varepsilon_2 = \frac{1}{E \delta} [& A_1 t_1(\varphi) + B_1 k_1(\varphi) + A_2 t_2(\varphi) + B_2 k_2(\varphi) + \\ & + (1 - \mu) \frac{pR}{2} - (1 + \mu) \frac{N \sin \varphi_1}{\sin^2 \varphi}], \end{aligned} \quad (10)$$

$$\vartheta = \frac{1}{E \delta} [A_1 m_1(\varphi) + B_1 n_1(\varphi) + A_2 m_2(\varphi) + B_2 n_2(\varphi)], \quad (11)$$

$$\begin{aligned} \Delta = \frac{1}{E} [& A_1 u_1(\varphi) + B_1 v_1(\varphi) + A_2 u_2(\varphi) + B_2 v_2(\varphi) + \\ & + \frac{(1 - \mu) p R^2 \sin^2 \varphi}{2 \delta} - \frac{1 + \mu}{\delta} \frac{N R \sin \varphi_1}{\sin \varphi}], \end{aligned} \quad (12)$$

$$\begin{aligned} u = \frac{1}{E} [& A_1 \bar{a}_1(\varphi) + B_1 \bar{b}_2(\varphi) + A_2 \bar{a}_2(\varphi) + B_2 \bar{b}_2(\varphi) + \\ & + C \sin \varphi + \frac{(1 + \mu) N R \sin \varphi_1}{2 E \delta} \left(\ln \operatorname{tg} \frac{\varphi}{2} - \frac{\cos \varphi}{\sin^2 \varphi} \right) \sin \varphi, \end{aligned} \quad (13)$$

$$\begin{aligned} w = \frac{1}{E} [& A_1 \bar{d}_1(\varphi) + B_1 \bar{d}_1(\varphi) + A_2 \bar{d}_2(\varphi) + B_2 \bar{d}_2(\varphi)] + \\ & + \frac{R}{E \delta} \left[(1 - \mu) \frac{pR}{2} - (1 + \mu) \frac{N \sin \varphi_1}{\sin^2 \varphi} \right] - C \cos \varphi - \\ & - \frac{(1 + \mu) N R \sin \varphi_1}{2 E \delta} \left(\ln \operatorname{tg} \frac{\varphi}{2} - \frac{\cos \varphi}{2 \sin^2 \varphi} \right) \cos \varphi. \end{aligned} \quad (14)$$

Положительные направления усилий и перемещений показаны на фиг. 1.

В формулах (15) — (14) использованы обозначения

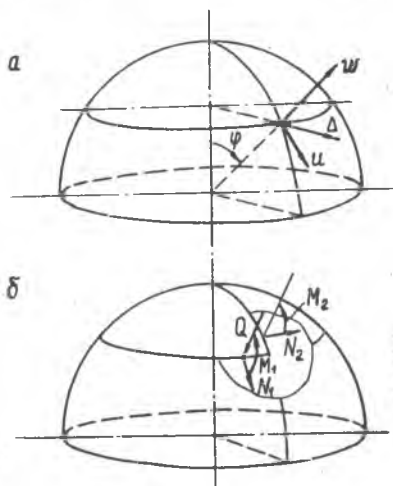
$$\begin{aligned} c_1 &= -a_1(\varphi) \operatorname{ctg} \varphi, \\ d_1 &= -b_1(\varphi) \operatorname{ctg} \varphi; \end{aligned} \quad (15)$$

$$e_1 = \sqrt{2x} \sqrt{\frac{\varphi}{\sin \varphi}} \left[keiz + \frac{1}{2\sqrt{2x}} \left(\frac{1}{\varphi} + \operatorname{ctg} \varphi \right) ker'z \right], \quad (16)$$

$$f_1 = -\sqrt{2x} \sqrt{\frac{\varphi}{\sin \varphi}} \left[kerz - \frac{1}{2\sqrt{2x}} \left(\frac{1}{\varphi} + \operatorname{ctg} \varphi \right) kei'z \right];$$

$$g_1 = \frac{1}{2x^2} \frac{R}{\delta} \left[\frac{\mu}{2x^2} e_1(\varphi) - f_1(\varphi) + \frac{\mu \operatorname{ctg} \varphi}{2x^2} m_1(\varphi) \right], \quad (17)$$

$$h_1 = \frac{1}{2x^2} \frac{R}{\delta} \left[\frac{\mu}{2x^2} f_1(\varphi) + e_1(\varphi) + \frac{\mu \operatorname{ctg} \varphi}{2x^2} n_1(\varphi) \right];$$



Фиг. 1.

$$p_1 = \frac{\mu}{2x^2} \frac{R}{\delta} \left[\frac{\mu}{2x^2} e_1(\varphi) - f_1(\varphi) + \frac{\operatorname{ctg} \varphi}{2\mu x^2} m_1(\varphi) \right], \quad (18)$$

$$q_1 = \frac{\mu}{2x^2} \frac{R}{\delta} \left[e_1(\varphi) + \frac{\mu}{2x^2} f_1(\varphi) + \frac{\operatorname{ctg} \varphi}{2\mu x^2} n_1(\varphi) \right];$$

$$r_1 = c_1(\varphi) - \mu e_1(\varphi), \quad s_1 = d_1(\varphi) - \mu f_1(\varphi); \quad (19)$$

$$t_1 = e_1(\varphi) - \mu c_1(\varphi), \quad k_1 = f_1(\varphi) - \mu d_1(\varphi); \quad (20)$$

$$m_1 = 2x^2 \sqrt{\frac{\varphi}{\sin \varphi}} \left(kei'z - \frac{\mu}{2x^2} ker'z \right), \quad (21)$$

$$n_1 = -2x^2 \sqrt{\frac{\varphi}{\sin \varphi}} \left(ker'z + \frac{\mu}{2x^2} kei'z \right);$$

$$u_1 = \frac{R}{\delta} [e_1(\varphi) - \mu c_1(\varphi)] \sin \varphi, \quad v_1 = \frac{R}{\delta} [f_1(\varphi) - \mu d_1(\varphi)] \sin \varphi; \quad (22)$$

$$\bar{a}_1 = (1 + \mu) \frac{R}{\delta} a_1(\varphi), \quad \bar{b}_1 = (1 + \mu) \frac{R}{\delta} b_1(\varphi); \quad (23)$$

$$\bar{c}_1 = \frac{R}{\delta} t_1(\varphi) - \bar{a}_1(\varphi) \operatorname{ctg} \varphi, \quad \bar{d}_1 = \frac{R}{\delta} k_1(\varphi) - \bar{b}_1(\varphi) \operatorname{ctg} \varphi. \quad (24)$$

Для определения функций $c_2(\varphi)$, $d_2(\varphi)$ и т. д. следует воспользоваться формулами (15)—(24), подставив в них вместо $kei z$, $ker z$ соответственно $ber z$, $ber' z$. Приведенные выше соотношения выражаются, как видно, через функции, числовые значения которых могут быть взяты из таблиц [5], составленных достаточно подробно. Заметим, что при $z > 6$ функции Томсона и их производные могут быть удовлетворительно представлены выражениями

$$\begin{aligned}
 ber z &\simeq \frac{1}{\sqrt{2\pi z}} e^{\frac{z}{\sqrt{2}}} \cos\left(\frac{z}{\sqrt{2}} - \frac{\pi}{8}\right), \\
 bei z &\simeq \frac{1}{\sqrt{2\pi z}} e^{\frac{z}{\sqrt{2}}} \sin\left(\frac{z}{\sqrt{2}} - \frac{\pi}{8}\right), \\
 ber' z &\simeq \frac{1}{\sqrt{2\pi z}} e^{\frac{z}{\sqrt{2}}} \cos\left(\frac{z}{\sqrt{2}} + \frac{\pi}{8}\right), \\
 bei' z &\simeq \frac{1}{\sqrt{2\pi z}} e^{\frac{z}{\sqrt{2}}} \sin\left(\frac{z}{\sqrt{2}} + \frac{\pi}{8}\right), \\
 ker z &\simeq \sqrt{\frac{\pi}{2z}} e^{-\frac{z}{\sqrt{2}}} \cos\left(\frac{z}{\sqrt{2}} + \frac{\pi}{8}\right), \\
 kei z &\simeq -\sqrt{\frac{\pi}{2z}} e^{-\frac{z}{\sqrt{2}}} \sin\left(\frac{z}{\sqrt{2}} + \frac{\pi}{8}\right), \\
 ker' z &\simeq -\sqrt{\frac{\pi}{2z}} e^{-\frac{z}{\sqrt{2}}} \cos\left(\frac{z}{\sqrt{2}} - \frac{\pi}{8}\right), \\
 kei' z &\simeq \sqrt{\frac{\pi}{2z}} e^{-\frac{z}{\sqrt{2}}} \sin\left(\frac{z}{\sqrt{2}} - \frac{\pi}{8}\right).
 \end{aligned} \tag{25}$$

Эти приближенные значения тем точнее, чем больше z . Используя эти формулы, выражение (3) можно свести к виду

$$\begin{aligned}
 Q &= \frac{1}{\sin \varphi_1} [e^{-x\varphi} (A_1 \cos x\varphi + B_1 \sin x\varphi) + \\
 &\quad + e^{x\varphi} (A_2 \cos x\varphi + B_2 \sin x\varphi)].
 \end{aligned} \tag{26}$$

Выражения для усилий и перемещений после подстановки (25) в (5)—(12) приобретают вид

$$\begin{aligned}
 N_1 &= -\frac{\text{ctg } \varphi}{\sqrt{\sin \varphi}} [e^{-x\varphi} (A_1 \cos x\varphi + B_1 \sin x\varphi) + \\
 &\quad + e^{x\varphi} (A_2 \cos x\varphi + B_2 \sin x\varphi)] + p \frac{R}{2} + \frac{N \sin \varphi_1}{\sin_2 \varphi},
 \end{aligned} \tag{27}$$

$$N_2 = -\frac{\sqrt{2}x}{\sqrt{\sin \varphi}} \left\{ -e^{-x\varphi} \left[A_1 \sin \left(x\varphi + \frac{\pi}{4} \right) - B_1 \cos \left(x\varphi + \frac{\pi}{4} \right) \right] + e^{x\varphi} \left[A_2 \cos \left(x\varphi + \frac{\pi}{4} \right) + B_2 \sin \left(x\varphi + \frac{\pi}{4} \right) \right] \right\} + p \frac{R}{2} - \frac{N \sin \varphi_1}{\sin^2 \varphi}, \quad (28)$$

$$M_1 = \frac{R}{\sqrt{2}x \sqrt{\sin \varphi}} \left\{ -e^{-x\varphi} \left[A_1 \cos \left(x\varphi + \frac{\pi}{4} \right) + B_1 \sin \left(x\varphi + \frac{\pi}{4} \right) \right] + e^{x\varphi} \left[A_2 \sin \left(x\varphi + \frac{\pi}{4} \right) - B_2 \cos \left(x\varphi + \frac{\pi}{4} \right) \right] \right\}, \quad (29)$$

$$M_2 = \mu M_1, \quad (30)$$

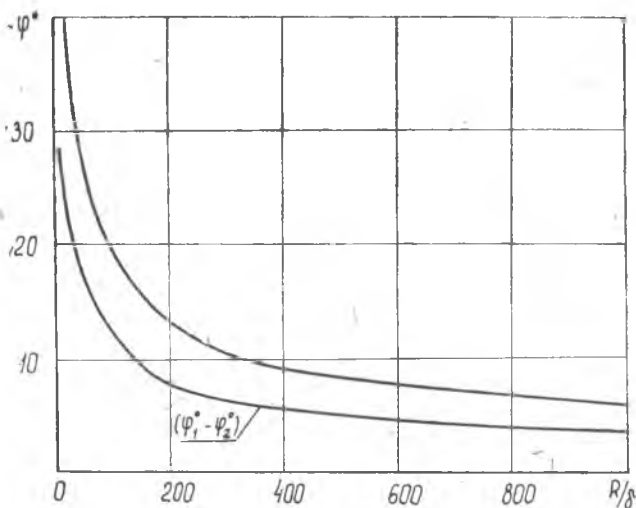
$$\Delta = \frac{R \sin \varphi}{E \delta} (N_2 - \mu N_1), \quad (31)$$

$$\vartheta = \frac{2x^2}{E \delta \sqrt{\sin \varphi}} \left[-e^{-x\varphi} (A_1 \sin x\varphi - B_1 \cos x\varphi) - e^{x\varphi} (A_2 \sin x\varphi - B_2 \cos x\varphi) \right]. \quad (32)$$

Так как эти соотношения справедливы при $z = \sqrt{2}x\varphi > 6$, то соответствующее значение φ определяется условием

$$\varphi > \frac{3\sqrt{2}}{x}. \quad (33)$$

Из этого условия видно, что углы φ , соответствующие «большому» значению аргумента z , для тонких оболочек не особенно велики. График, ограничивающий значения углов φ по условию (33) представлен на фиг. 2.



Фиг. 2.

Формулы, аналогичные приведенным выше, приводятся в известной монографии [1] на основе решения приближенного уравнения

$$y^{IV} + 4x^4y = 0, \quad (34)$$

где

$$y = Q \sqrt{\sin \varphi}.$$

При этом отмечается, что пользоваться ими можно для углов φ , больших по величине даже для тонких оболочек, у которых R/δ представляет собой большое число.

То обстоятельство, что формулы (26)—(32) являются частным случаем выражений (5)—(12), несколько расширяют границы их применения, что особенно важно при их несомненной простоте.

Когда угол φ мал, то $\sqrt{\frac{\varphi}{\sin \varphi}} \simeq 1$ и выражение (3) принимает вид

$$Q = A_1 \ker'z + B_1 \operatorname{kei}'z + A_2 \operatorname{ber}'z + B_2 \operatorname{bei}'z. \quad (35)$$

Этот результат получается и при подстановке в дифференциальное уравнение (1) первого члена разложения $\operatorname{ctg} \varphi$ в ряд

$$\operatorname{ctg} \varphi = \frac{1}{\varphi} - \frac{\varphi}{3} - \dots \quad (36)$$

Все необходимые выражения в этом случае могут быть получены путем замены $\sin \varphi \simeq \operatorname{tg} \varphi \simeq \varphi$ в выражениях (5)—(14).

В заключение остановимся еще на одном обстоятельстве. Как известно, оболочки бывают «короткими» и «длинными». Для «длинных» оболочек можно пренебречь влиянием самоуравновешенных воздействий у одного края на напряженно-деформированное состояние возле другого края.

Если длина оболочки вдоль меридиана такова, что соответствующие верхнему и нижнему краям оболочки углы подчиняются условию [3] (при $\mu=0,3$)

$$\varphi_1 - \varphi_2 > 1,65 \sqrt{\frac{\delta}{R}}, \quad (37)$$

то, с точностью до 10%, такую оболочку можно считать длинной. При принятии более высокой, 5%-й точности расчета, условие (37) заменится следующим:

$$\varphi_1 - \varphi_2 > 2,3 \sqrt{\frac{\delta}{R}}. \quad (38)$$

Будем считать, согласно Новожилову В. В., сферический пояс длинным, если центральный угол между краями сферической оболочки удовлетворяет условию

$$\varphi_1 - \varphi_2 \geq 2 \sqrt{\frac{\delta}{R}}. \quad (39)$$

Давая отношению R/δ ряд значений, получим соответствующие разности $(\varphi_1 - \varphi_2)$, которые приведены на фиг. 2.

Из фиг. 2 видно, что в практических расчетах сферический пояс всегда будет «длинным», и влиянием одного края на другой можно пренебречь.

ЛИТЕРАТУРА

1. С. П. Тимошенко, С. Войновский-Кригер. Пластинки и оболочки. Физматгиз, 1963.
2. В. Флюгге. Статика и динамика оболочек. Госстройиздат, 1961.
3. Прочность. Устойчивость. Колебания. Под редакцией И. А. Биргера и Я. Г. Пановко. «Машиностроение», т. 1, 1968.
4. Ю. Л. Тарасов. Определение напряжений в сочленении трубопровода со сферическим днищем бака. Труды КуАИ, вып. 39, 1968.
5. Л. Н. Носова. Таблицы функций Томсона и их первых производных. Изд-во АН СССР, 1960.
6. F. A. Leckie. Localized Loads Applied to Spherical Shells, J. Mech. Engin. Sc., vol. 3, N 2, 1961.